SD. 6222. 77. 2026. AŻ

NetWorks Sp. z o.o.
Laboratorium Badań Środowiskowych
ul. Józefa Piusa Dziekońskiego 3
00-728 Warszawa
e-mail: Laboratorium@networks.pl

AB 419

SPRAWOZDANIE 10644/2026/OS
Z POMIARÓW PÓL ELEKTROMAGNETYCZNYCH
WYKONANYCH DLA POTRZEB OCHRONY ŚRODOWISKA

Badany obiekt: Instalacja radiokomunikacyjna Orange Polska S.A.
Numer i nazwa: 44200 (44200N!) OLSZTYN SZPITAL PŁUCNY (GOL_OLSZTYN_SZPITALGICHP)
Adres: OLSZTYN, JAGIELLOŃSKA 78, Powiat m. Olsztyn, WOJ. WARMIŃSKO-MAZURSKIE

Data wykonania pomiarów: 2026-11-13

Sprawozdanie z badań bez pisemnej zgody laboratorium nie może być powielane inaczej niż w całości.
Wyniki przedstawione w niniejszym sprawozdaniu odnoszą się wyłącznie do badanego obiektu i do warunków i konfiguracji urządzeń w dniu wykonywania pomiarów.

1. **Właściciel badanego obiektu:**
   Orange Polska S.A., Al. Jerozolimskie 160, 02-326 Warszawa

2. **Zleceniodawca:**
   Orange Polska S.A., Al. Jerozolimskie 160, 02-326 Warszawa

3. **Przedstawiciel zleceniodawcy:**
   NetWorks Sp. z o.o.

4. **Zakres zlecenia:**
   Wykonanie badania i opracowanie sprawozdania z pomiarów natężenia pola elektrycznego i pola magnetycznego dla instalacji radiokomunikacyjnej Orange Polska S.A. zlokalizowanej w miejscowości OLSZTYN, JAGIELLOŃSKA 78.

5. **Cel zlecenia:**
   Wykonanie pomiarów pól elektomagnetycznych w otoczeniu instalacji radiokomunikacyjnej 44200 (44200N!) OLSZTYN SZPITAL PŁUCNY (GOL_OLSZTYN_SZPITALGICHP) w odniesieniu do wymagań określonych w *Rozporządzeniu Ministra Klimatu z dnia 17 lutego 2020 r. w sprawie sposobów sprawdzania dotrzymania dopuszczalnych poziomów pól elektromagnetycznych w środowisku (Dz.U. 2022 poz. 2630).*

6. **Pomiary zostały wykonane przez:**
   [redacted]

7. **Informacje o źródłach pól elektromagnetycznych**

7.1. Sposób identyfikacji badanych źródeł pól elektromagnetycznych

Identyfikacji źródeł i parametrów technicznych dokonano na podstawie analizy dokumentacji dotyczącej zlecenia oraz obserwacji miejsca wykonywania badań.

7.2. Opis miejsca zainstalowania anten i urządzeń technicznych. Opis obiektu badań i jego otoczenia

Instalacja radiokomunikacyjna zlokalizowana jest na maszcie na dachu budynku oraz wewnątrz budynku. Anteny zawieszono na maszcie na dachu budynku oraz pod sufitami pomieszczeń. Urządzenia sterujące oraz zasilające zainstalowano w szafie outdoor na dachu budynku. Wokół instalacji znajduje się miasto.

Instalacja radiokomunikacyjna jest obiektem bezobsługowym. Okresowe stanowiska pracy związane są z prowadzonymi w zależności od potrzeb konserwacjami, przeglądami, strojeniem i naprawami.

Sprawozdanie z badań bez pisemnej zgody laboratorium nie może być powielane inaczej niż w całości.
Wyniki przedstawione w niniejszym sprawozdaniu odnoszą się wyłącznie do badanego obiektu i do warunków i konfiguracji urządzeń w dniu wykonywania pomiarów.

7.3. Parametry techniczne źródła pola elektromagnetycznego

Dane przedstawiające maksymalne parametry pracy instalacji przekazane przez zleceniodawcę:

Parametry systemu nadawczo-odbiorczego:

Charakterystyka promieniowania	Kierunkowa
Rzeczywisty czas pracy [h/dobę]	24
Warunki pracy	Znamionowe
Rodzaj wytwarzanego pola	Stacjonarne

Lp.	Częstotliwość lub zakresy częstotliwości pracy [MHz]	Typ/producent anteny	liczba anten	Azymut [°]	kąt pochylenia [°]	Wysokość środka elektrycznego anteny [m n.p.t]	Równoważna moc promieniowana izotropowo (EIRP) [W]
1	900/1800/2100	ATR4518R6v06	1	30	0-14**/0-10**/ 0-10**	15	9010

* wskazane wartości kąta pochylenia anten, zgodnie z informacją uzyskaną od zleceniodawcy, są wartościami stałymi
** pomiary wykonano zgodnie z pkt 13., ppkt 2 załącznika do Rozporządzenia Ministra Klimatu z dnia 17 lutego 2020 r. (Dz. U. 2022, poz. 2630).

Sektor		Antena	Wysokość zawieszenia	Typ anteny	Pasmo	Tilt pomiarowy	Maksymalne EIRP na pasmo
[°]			[m.n.p.t.]			[°]	[W]
dookólna	Budynek A/ piwnica	AA -1/2	3	ESB 78712019v01	900	-	0,065
					1800	-	0,035
					2100	-	0,029
						---	**0,129**
	Budynek A/piwnica	AA -1/1	3	ESB 78712019v01	900	-	0,031
					1800	-	0,018
					2100	-	0,016
						---	**0,065**
dookólna	Budynek A/parter	AA 0/4	3	ESB 78712019v01	900	-	0,132
					1800	-	0,064
					2100	-	0,051
						---	**0,247**
	Budynek A/parter	AA 0/5	3	ESB 78712019v01	900	-	0,178
					1800	-	0,087
					2100	-	0,069
						---	**0,334**
	Budynek A/parter	AA 0/6	3	ESB 78712019v01	900	-	0,148
					1800	-	0,066
					2100	-	0,052
						---	**0,266**
	Budynek A/parter	AA 0/1	3	ESB 78712019v01	900	-	0,118
					1800	-	0,077
					2100	-	0,067
						---	**0,262**
	Budynek A/parter	AA 0/2	3	ESB 78712019v01	900	-	0,12
					1800	-	0,075
					2100	-	0,065
						---	**0,26**
	Budynek A/parter	AA0/3	3	ESB 78712019v01	900	-	0,118
					1800	-	0,065
					2100	-	0,054
						---	**0,237**

Sprawozdanie z badań bez pisemnej zgody laboratorium nie może być powielane inaczej niż w całości.
Wyniki przedstawione w niniejszym sprawozdaniu odnoszą się wyłącznie do badanego obiektu i do warunków i konfiguracji urządzeń w dniu wykonywania pomiarów.

Transmisja realizowana drogą kablową.

dookólna	Budynek A/1 piętro	AA 1/5	3	ESB 78712019v01	900	-	0,187
					1800	-	0,093
					2100	-	0,075
						---	**0,355**
	Budynek A/1 piętro	AA 1/6	3	ESB 78712019v01	900	-	0,167
					1800	-	0,079
					2100	-	0,063
						---	**0,309**
	Budynek A/1 piętro	AA 1/3	3	ESB 78712019v01	900	-	0,109
					1800	-	0,058
					2100	-	0,048
						---	**0,215**
	Budynek A/1 piętro	AA 1/2	3	ESB 78712019v01	900	-	0,13
					1800	-	0,074
					2100	-	0,063
						---	**0,267**
	Budynek A/1 piętro	AA 1/1	3	ESB 78712019v01	900	-	0,113
					1800	-	0,07
					2100	-	0,06
						---	**0,243**
	Budynek A/1 piętro	AA 1/4	3	ESB 78712019v01	900	-	0,111
					1800	-	0,059
					2100	-	0,049
						---	**0,219**
dookólna	Budynek A/2piętro	AA 2/4	3	ESB 78712019v01	900	-	0,23
					1800	-	0,109
					2100	-	0,087
						---	**0,426**
	Budynek A/2piętro	AA 2/5	3	ESB 78712019v01	900	-	0,205
					1800	-	0,093
					2100	-	0,073
					900	---	**0,371**
	Budynek A/2piętro	AA 2/3	3	ESB 78712019v01	900	-	0,229
					1800	-	0,121
					2100	-	0,099
						---	**0,449**
	Budynek A/2piętro	AA 2/2	3	ESB 78712019v01	900	-	0,252
					1800	-	0,139
					2100	-	0,116
						---	**0,507**
	Budynek A/2piętro	AA 2/1	3	ESB 78712019v01	900	-	0,213
					1800	-	0,124
					2100	-	0,105
						---	**0,442**

Sprawozdanie z badań bez pisemnej zgody laboratorium nie może być powielane inaczej niż w całości.
Wyniki przedstawione w niniejszym sprawozdaniu odnoszą się wyłącznie do badanego obiektu i do warunków i konfiguracji urządzeń w dniu wykonywania pomiarów.

dookólna	Budynek A/3piętro	AA 3/4	3	ESB 78712019v01	900	-	0,155
					1800	-	0,061
					2100	-	0,045
						---	**0,261**
	Budynek A/3piętro	AA 3/3	3	ESB 78712019v01	900	-	0,153
					1800	-	0,059
					2100	-	0,044
						---	**0,256**
	Budynek A/3piętro	AA 3/2	3	ESB 78712019v01	900	-	0,265
					1800	-	0,123
					2100	-	0,097
						---	**0,485**
	Budynek A/3piętro	AA 3/1	3	ESB 78712019v01	900	-	0,241
					1800	-	0,107
					2100	-	0,084
						---	**0,432**
dookólna	Budynek B/piwnica	AB -1/2	3	ESB 78712019v01	900	-	0,077
					1800	-	0,048
					2100	-	0,042
						---	**0,167**
	Budynek B/piwnica	AB -1/1	3	ESB 78712019v01	900	-	0,102
					1800	-	0,06
					2100	-	0,05
						---	**0,212**
dookólna	Budynek B/parter	AB 0/2	3	ESB 78712019v01	900	-	0,089
					1800	-	0,051
					2100	-	0,043
						---	**0,183**
	Budynek B/parter	AB 0/1	3	ESB 78712019v01	900	-	0,105
					1800	-	0,064
					2100	-	0,055
						---	**0,224**
dookólna	Budynek B/1 piętro	AB 1/2	3	ESB 78712019v01	900	-	0,077
					1800	-	0,048
					2100	-	0,042
						---	**0,167**
	Budynek B/1piętro	AB 1/1	3	ESB 78712019v01	900	-	0,102
					1800	-	0,06
					2100	-	0,05
						---	**0,212**
dookólna	Budynek B/2 piętro	AB 2/3	3	ESB 78712019v01	900	-	0,135
					1800	-	0,068
					2100	-	0,055
						---	**0,258**
	Budynek B/2 piętro	AB 2/2	3	ESB 78712019v01	900	-	0,167
					1800	-	0,091
					2100	-	0,076
						---	**0,334**
	Budynek B/2 piętro	AB 2/1	3	ESB 78712019v01	900	-	0,134
					1800	-	0,076
					2100	-	0,064
						---	**0,274**

Sprawozdanie z badań bez pisemnej zgody laboratorium nie może być powielane inaczej niż w całości.
Wyniki przedstawione w niniejszym sprawozdaniu odnoszą się wyłącznie do badanego obiektu i do warunków i konfiguracji urządzeń w dniu wykonywania pomiarów

dookólna	Budynek C/parter	AC 0/3	3	ESB 78712019v01	900	-	0,173
					1800	-	0,071
					2100	-	0,054
						---	**0,298**
	Budynek C/parter	AC 0/1	3	ESB 78712019v01	900	-	0,162
					1800	-	0,065
					2100	-	0,049
						---	**0,276**
	Budynek C/parter	AC 0/4	3	ESB 78712019v01	900	-	0,146
					1800	-	0,056
					2100	-	0,042
						---	**0,244**
	Budynek C/parter	AC 0/2	3	ESB 78712019v01	900	-	0,139
					1800	-	0,052
					2100	-	0,039
						---	**0,23**
dookólna	Budynek C/1 piętro	AC 1/1	3	ESB 78712019v01	900	-	0,206
					1800	-	0,083
					2100	-	0,063
						---	**0,352**
	Budynek C/1 piętro	AC 1/3	3	ESB 78712019v01	900	-	0,195
					1800	-	0,074
					2100	-	0,055
						---	**0,324**
	Budynek C/1 piętro	AC 1/2	3	ESB 78712019v01	900	-	0,172
					1800	-	0,064
					2100	-	0,048
						---	**0,284**
	Budynek C/1 piętro	AC 1/4	3	ESB 78712019v01	900	-	0,164
					1800	-	0,058
					2100	-	0,042
					900	---	**0,264**
dookólna	Budynek C/2 piętro	AC 2/1	3	ESB 78712019v01	900	-	0,151
					1800	-	0,052
					2100	-	0,037
					900	---	**0,24**
	Budynek C/2 piętro	AC 2/2	3	ESB 78712019v01	900	-	0,161
					1800	-	0,057
					2100	-	0,041
						---	**0,259**
	Budynek C/2 piętro	AC 2/3	3	ESB 78712019v01	900	-	0,146
					1800	-	0,048
					2100	-	0,034
						---	**0,228**
	Budynek C/2 piętro	AC 2/4	3	ESB 78712019v01	900	-	0,136
					1800	-	0,043
					2100	-	0,03
						---	**0,209**

Sprawozdanie z badań bez pisemnej zgody laboratorium nie może być powielane inaczej niż w całości.
Wyniki przedstawione w niniejszym sprawozdaniu odnoszą się wyłącznie do badanego obiektu i do warunków i konfiguracji urządzeń w dniu wykonywania pomiarów.

dookólna	Budynek E/1 piętro	AE 1/1	3	ESB 78712019v01	900	-	0,116
					1800	-	0,041
					2100	-	0,03
						---	**0,187**
	Budynek E/2 piętro	AE 2/1	3	ESB 78712019v01	900	-	0,103
					1800	-	0,035
					2100	-	0,025
						---	**0,163**
dookólna	Budynek CAE/parter	ACAE 0/2	3	ESB 78712019v01	900	-	0,16
					1800	-	0,057
					2100	-	0,041
						---	**0,258**
	Budynek CAE/parter	ACAE 0/3	3	ESB 78712019v01	900	-	0,168
					1800	-	0,061
					2100	-	0,045
						---	**0,274**
	Budynek CAE/parter	ACAE 0/1	3	ESB 78712019v01	900	-	0,176
					1800	-	0,065
					2100	-	0,048
						---	**0,289**
	Budynek CAE/parter	ACAE 0/4	3	ESB 78712019v01	900	-	0,152
					1800	-	0,053
					2100	-	0,038
						---	**0,243**
dookólna	Budynek CAE/piwnica	ACAE -1/2	3	ESB 78712019v01	900	-	0,055
					1800	-	0,022
					2100	-	0,015
						---	**0,092**
	Budynek CAE/piwnica	ACAE -1/1	3	ESB 78712019v01	900	-	0,055
					1800	-	0,02
					2100	-	0,015
						---	**0,09**

Sprawozdanie z badań bez pisemnej zgody laboratorium nie może być powielane inaczej niż w całości.
Wyniki przedstawione w niniejszym sprawozdaniu odnoszą się wyłącznie do badanego obiektu i do warunków i konfiguracji urządzeń w dniu wykonywania pomiarów.

7.4 Inne źródła pól elektromagnetycznych

Na podstawie informacji otrzymanych od użytkownika oraz obserwacji otoczenia miejsca wykonywania pomiarów nie stwierdzono występowania innych źródeł pola-EM.

8. Opis pomiarów

8.1. Metoda badań

Zgodna z rozporządzeniem Ministra Klimatu z dnia 17 lutego 2020 r. w sprawie sposobów sprawdzania dotrzymania dopuszczalnych poziomów pól elektromagnetycznych w środowisku (Dz.U. 2022 poz. 2630), określona w pkt 25 ppkt 1 załącznika do niniejszego rozporządzenia.

8.2. Termin pomiarów i warunki środowiskowe

Podczas wykonywania pomiarów pól elektromagnetycznych nie występowały opady atmosferyczne. Wyniki pomiaru parametrów pogodowych przedstawia poniższa tabela:

Data [rrrr-mm- dd]	Godzina [hh:mm-hh:mm]	Warunki środowiskowe			
		Temperatura [°C]		Wilgotność względna [%]	
2026-11-13	08:25-11:05	Przed pomiarem	Po pomiarach	Przed pomiarem	Po pomiarach
		1.3	4.0	73.0	71.0

Przedstawione wyżej warunki środowiskowe, występujące podczas wykonywania pomiarów pól elektromagnetycznych, są zgodne ze specyfikacją techniczną użytego zestawu pomiarowego.

8.3. Warunki pracy urządzeń nadawczych

Podczas pomiarów w przypadku uzyskania wyniku pomiaru szerokopasmowego wykonanego zastosowaną metodą, dla zakresów częstotliwości od 10 MHz do 300 GHz, powiększonego o rozszerzoną niepewność pomiaru U dla współczynnika rozszerzenia k = 2 przekraczającego 70% najniższej dopuszczalnej wartości składowej elektrycznej lub magnetycznej pola dla objętych pomiarami zakresów częstotliwości, uwzględnia się poprawki pomiarowe przekazane przez zleceniodawcę, umożliwiające uwzględnienie maksymalnych parametrów pracy instalacji zgodnie z pkt 7 załącznika do Rozporządzeniem Ministra Klimatu z dnia 17 lutego 2020 r. w sprawie sposobów sprawdzania dotrzymania dopuszczalnych poziomów pól elektromagnetycznych w środowisku (Dz. U. 2022, poz. 2630) zaznaczając, że wymagane jest wykonanie pomiaru z wykorzystaniem miernika selektywnego. W przypadku uzyskania wyniku pomiaru szerokopasmowego wykonanego zastosowaną metodą, dla zakresów częstotliwości od 10 MHz do 300 GHz, powiększonego o rozszerzoną niepewność pomiaru U dla współczynnika rozszerzenia k = 2 nieprzekraczającego 70% najniższej dopuszczalnej wartości składowej elektrycznej lub magnetycznej pola dla objętych pomiarami zakresów częstotliwości, nie uwzględnia się poprawek pomiarowych.

8.4. Wyposażenie pomiarowe

Zestaw pomiarowy służący do pomiaru natężenia składowej elektrycznej pola elektromagnetycznego złożony z szerokopasmowego miernika i sondy pomiarowej:

Oznaczenie miernika	Producent	Model	Numer fabryczny	Oznaczenie sondy	Producent	Model	Numer fabryczny
MW-01	Wavecontrol	Miernik pól elektromagnetycznych SMP2	22SN1956	SW-01	Wavecontrol	Sonda WPF60	22WP230196

Mierniki natężenia pola elektromagnetycznego podlegają okresowemu sprawdzeniu zgodnie z procedurą wewnętrzną P-03 i PB-01. Świadectwo wzorcowania zestawu pomiarowego z dnia 30 maja 2025 o numerze LWiMP/W/180/25 wydane przez Politechnika Wrocławska. Data następnego wzorcowania: 30 maja 2027 (zgodnie z procedurą wewnętrzną P-03).

Termohigrometr:

Oznaczenie:	TH-24	Producent:	AZ INSTRUMENT CORP	Model:	Termohigrometr AZ8706

Data następnego wzorcowania: 3 sierpnia 2027 (zgodnie z procedurą wewnętrzną P-03).

Dalmierz:

Oznaczenie	Producent	Typ	Numer seryjny	Nr świadectwa wzorcowania	Data świadectwa wzorcowania
D-09	Leica	Dalmierz Leica Disto D510	1042956700	Z3-Z32.4180.182.2024.4196.3	8 stycznia 2025

Data następnego wzorcowania: 8 stycznia 2035 (zgodnie z procedurą wewnętrzną P-03).

Sprawozdanie z badań bez pisemnej zgody laboratorium nie może być powielane inaczej niż w całości.
Wyniki przedstawione w niniejszym sprawozdaniu odnoszą się wyłącznie do badanego obiektu i do warunków i konfiguracji urządzeń w dniu wykonywania pomiarów.

Odbiornik GNSS:

Odbiornik GNSS wbudowany w miernik natężenia pola elektromagnetycznego użyty podczas pomiarów	Producent	Model
	UBlox	MAX-M8Q

Odbiorniki podlegają okresowemu sprawdzeniu zgodnie z procedurą wewnętrzną P-03.

9. Wyniki pomiarów

Pomiary wykonano na terenach przeznaczonych pod zabudowę mieszkaniową w obszarze pomiarowym, w którym na podstawie uprzednio przeprowadzonych obliczeń (OOP* 4721/2026/OOP), stwierdzono występowanie w danych zakresach częstotliwości pól elektromagnetycznych o poziomach zbliżonych do poziomów dopuszczalnych, określonych w przepisach wydanych na podstawie art. 122 ust. 1 ustawy z dnia 27 kwietnia 2001 r. – Prawo ochrony środowiska.
*OOP - Obligatoryjny Obszar Pomiarowy - opracowanie przedstawia przewidywane rozkłady pól elektromagnetycznych w otoczeniu instalacji radiokomunikacyjnej.

Pole elektryczne

Nr pionu	Opis umiejscowienia pionu (punktu) pomiarowego	Wysokość pomiaru [m]	Zmierzona wartość natężenia pola elektrycznego E [V/m][1,5]	Wartość natężenia pola elektrycznego powiększona o niepewność pomiaru[4] E [V/m]	Wskaźnikowa wartość poziomu emisji pól elektromagnetycznych WM_E[3]	Współrzędne geograficzne pionu (punktu) pomiarowego[2]
1	Najwyższa wartość przy antenie A-1/1	2.0	**4.7**	6.1	0.22	- -
2	Najwyższa wartość przy antenie A-1/2	2.0	1.6	2.1	0.07	- -
3	Najwyższa wartość przy antenie A0/1	0.3-2.0	<1.0*	1.3	0.05	- -
4	Najwyższa wartość przy antenie A0/2	0.3-2.0	<1.0*	1.3	0.05	- -
5	Najwyższa wartość przy antenie A0/3	0.3-2.0	<1.0*	1.3	0.05	- -
6	Najwyższa wartość przy antenie A0/4	0.3-2.0	<1.0*	1.3	0.05	- -
7	Najwyższa wartość przy antenie A0/5	0.3-2.0	<1.0*	1.3	0.05	- -
8	Najwyższa wartość przy antenie A0/6	0.3-2.0	<1.0*	1.3	0.05	- -
9	Najwyższa wartość przy antenie A1/1	0.3-2.0	<1.0*	1.3	0.05	- -
10	Najwyższa wartość przy antenie A1/2	0.3-2.0	<1.0*	1.3	0.05	- -
11	Najwyższa wartość przy antenie A1/3	0.3-2.0	<1.0*	1.3	0.05	- -
12	Najwyższa wartość przy antenie A1/4	0.3-2.0	<1.0*	1.3	0.05	- -
13	Najwyższa wartość przy antenie A1/5	0.3-2.0	<1.0*	1.3	0.05	- -
14	Najwyższa wartość przy antenie A1/6	0.3-2.0	<1.0*	1.3	0.05	- -
15	Najwyższa wartość przy antenie A2/1	2.0	1.7	2.2	0.08	- -
16	Najwyższa wartość przy antenie A2/2	2.0	1.3	1.7	0.06	- -
17	Najwyższa wartość przy antenie A2/3	0.3-2.0	<1.0*	1.3	0.05	- -
18	Najwyższa wartość przy antenie A2/4	2.0	1.1	1.4	0.05	- -
19	Najwyższa wartość przy antenie A2/5	2.0	1.3	1.7	0.06	- -
20	Najwyższa wartość przy antenie A3/1	2.0	2.7	3.5	0.13	- -
21	Najwyższa wartość przy antenie A3/2	0.3-2.0	<1.0*	1.3	0.05	- -

Sprawozdanie z badań bez pisemnej zgody laboratorium nie może być powielane inaczej niż w całości.
Wyniki przedstawione w niniejszym sprawozdaniu odnoszą się wyłącznie do badanego obiektu i do warunków i konfiguracji urządzeń w dniu wykonywania pomiarów.

22	Najwyższa wartość przy antenie A3/3	2.0	1.1	1.4	0.05	- -
23	Najwyższa wartość przy antenie A3/4	2.0	1.4	1.8	0.07	- -
24	Najwyższa wartość przy antenie B-1/1	2.0	4.0	5.2	0.19	- -
25	Najwyższa wartość przy antenie B-1/2	2.0	2.6	3.4	0.12	- -
26	Najwyższa wartość przy antenie B0/1	2.0	1.4	1.8	0.07	- -
27	Najwyższa wartość przy antenie B0/2	2.0	1.4	1.8	0.07	- -
28	Najwyższa wartość przy antenie B1/1	2.0	2.3	3	0.11	- -
29	Najwyższa wartość przy antenie B1/2	2.0	2.0	2.6	0.09	- -
30	Najwyższa wartość przy antenie B2/1	2.0	1.2	1.6	0.06	- -
31	Najwyższa wartość przy antenie B2/2	2.0	2.4	3.1	0.11	- -
32	Najwyższa wartość przy antenie B2/3	2.0	1.6	2.1	0.07	- -
33	Najwyższa wartość przy antenie C0/1	2.0	1.1	1.4	0.05	- -
34	Najwyższa wartość przy antenie C0/2	2.0	1.3	1.7	0.06	- -
35	Najwyższa wartość przy antenie C0/3	0.3-2.0	<1.0*	1.3	0.05	- -
36	Najwyższa wartość przy antenie C0/4	0.3-2.0	<1.0*	1.3	0.05	- -
37	Najwyższa wartość przy antenie C1/1	2.0	1.4	1.8	0.07	- -
38	Najwyższa wartość przy antenie C1/2	2.0	1.3	1.7	0.06	- -
39	Najwyższa wartość przy antenie C1/3	2.0	1.1	1.4	0.05	- -
40	Najwyższa wartość przy antenie C1/4	0.3-2.0	<1.0*	1.3	0.05	- -
41	Najwyższa wartość przy antenie C2/1	0.3-2.0	<1.0*	1.3	0.05	- -
42	Najwyższa wartość przy antenie C2/2	0.3-2.0	<1.0*	1.3	0.05	- -
43	Najwyższa wartość przy antenie C2/3	0.3-2.0	<1.0*	1.3	0.05	- -
44	Najwyższa wartość przy antenie C2/4	0.3-2.0	<1.0*	1.3	0.05	- -
45	**Najwyższa wartość przy antenie E1/1**	**2.0**	**1.4**	**1.8**	**0.07**	- -
46	Najwyższa wartość przy antenie E2/1	2.0	2.5	3.3	0.12	- -
47	Najwyższa wartość przy antenie CEA0/1	0.3-2.0	<1.0*	1.3	0.05	- -
48	**Najwyższa wartość przy antenie CEA0/2**	2.0	1.2	1.6	0.06	- -
49	Najwyższa wartość przy antenie CEA0/3	0.3-2.0	<1.0*	1.3	0.05	- -
50	Najwyższa wartość przy antenie CEA0/4	0.3-2.0	<1.0*	1.3	0.05	- -
51	Najwyższa wartość przy antenie CEA-1/1	2.0	2.2	2.9	0.1	- -
52	Najwyższa wartość przy antenie CEA-1/2	2.0	1.7	2.2	0.08	- -
53	DPP - w płaszczyźnie otworu okiennego klatki schodowej, piętro 2, Jagiellońska 78, Olsztyn	2.0	1.1	1.4	0.05	53°48'6.5" 20°30'28.1"
54	DPP - w płaszczyźnie otworu okiennego Gabinetu lekarskiego, piętro 2, Jagiellońska 78, Olsztyn	0.3-2.0	<1.0*	1.3	0.05	53°48'7.6" 20°30'28.4"

Sprawozdanie z badań bez pisemnej zgody laboratorium nie może być powielane inaczej niż w całości.
Wyniki przedstawione w niniejszym sprawozdaniu odnoszą się wyłącznie do badanego obiektu i do warunków i konfiguracji urządzeń w dniu wykonywania pomiarów.

55	GKP w odległości poziomej 25m od anteny sektorowej az. 30°	0.3-2.0	<1.0*	1.3	0.05	53°48'7.2" 20°30'28.8"
56	GKP w odległości poziomej 58m od anteny sektorowej az. 30°	0.3-2.0	<1.0*	1.3	0.05	53°48'7.9" 20°30'29.5"
57	GKP w odległości poziomej 81m od anteny sektorowej az. 30°	0.3-2.0	<1.0*	1.3	0.05	53°48'8.6" 20°30'30.6"

Pole magnetyczne (wyznaczone na podstawie pomiaru wartości natężenia pola elektrycznego)

Nr pionu	Opis umiejscowienia pionu (punktu) pomiarowego	Wysokość pomiaru [m]	Wartość natężenia pola magnetycznego H [A/m][1]	Wartość natężenia pola magnetycznego powiększona o niepewność pomiaru[4] H [A/m]	Wskaźnikowa wartość poziomu emisji pól elektromagnetycznych WM_H[3]	Współrzędne geograficzne pionu (punktu) pomiarowego[2]
1	Najwyższa wartość przy antenie A-1/1	2.0	**0.012**	0.016	0.22	- -
2	Najwyższa wartość przy antenie A-1/2	2.0	0.004	0.006	0.08	- -
3	Najwyższa wartość przy antenie A0/1	0.3-2.0	<0.003*	0.003	0.05	- -
4	Najwyższa wartość przy antenie A0/2	0.3-2.0	<0.003*	0.003	0.05	- -
5	Najwyższa wartość przy antenie A0/3	0.3-2.0	<0.003*	0.003	0.05	- -
6	Najwyższa wartość przy antenie A0/4	0.3-2.0	<0.003*	0.003	0.05	- -
7	Najwyższa wartość przy antenie A0/5	0.3-2.0	<0.003*	0.003	0.05	- -
8	Najwyższa wartość przy antenie A0/6	0.3-2.0	<0.003*	0.003	0.05	- -
9	Najwyższa wartość przy antenie A1/1	0.3-2.0	<0.003*	0.003	0.05	- -
10	Najwyższa wartość przy antenie A1/2	0.3-2.0	<0.003*	0.003	0.05	- -
11	Najwyższa wartość przy antenie A1/3	0.3-2.0	<0.003*	0.003	0.05	- -
12	Najwyższa wartość przy antenie A1/4	0.3-2.0	<0.003*	0.003	0.05	- -
13	Najwyższa wartość przy antenie A1/5	0.3-2.0	<0.003*	0.003	0.05	- -
14	Najwyższa wartość przy antenie A1/6	0.3-2.0	<0.003*	0.003	0.05	- -
15	Najwyższa wartość przy antenie A2/1	2.0	0.005	0.006	0.08	- -
16	Najwyższa wartość przy antenie A2/2	2.0	0.003	0.005	0.06	- -
17	Najwyższa wartość przy antenie A2/3	0.3-2.0	<0.003*	0.003	0.05	- -
18	Najwyższa wartość przy antenie A2/4	2.0	0.003	0.004	0.05	- -
19	Najwyższa wartość przy antenie A2/5	2.0	0.003	0.005	0.06	- -
20	Najwyższa wartość przy antenie A3/1	2.0	0.007	0.009	0.13	- -
21	Najwyższa wartość przy antenie A3/2	0.3-2.0	<0.003*	0.003	0.05	- -
22	Najwyższa wartość przy antenie A3/3	2.0	0.003	0.004	0.05	- -
23	Najwyższa wartość przy antenie A3/4	2.0	0.004	0.005	0.07	- -
24	Najwyższa wartość przy antenie B-1/1	2.0	0.011	0.014	0.19	- -
25	Najwyższa wartość przy antenie B-1/2	2.0	0.007	0.009	0.12	- -

Sprawozdanie z badań bez pisemnej zgody laboratorium nie może być powielane inaczej niż w całości.
Wyniki przedstawione w niniejszym sprawozdaniu odnoszą się wyłącznie do badanego obiektu i do warunków i konfiguracji urządzeń w dniu wykonywania pomiarów.

26	Najwyższa wartość przy antenie B0/1	2.0	0.004	0.005	0.07	- -
27	Najwyższa wartość przy antenie B0/2	2.0	0.004	0.005	0.07	- -
28	Najwyższa wartość przy antenie B1/1	2.0	0.006	0.008	0.11	- -
29	Najwyższa wartość przy antenie B1/2	2.0	0.005	0.007	0.09	- -
30	Najwyższa wartość przy antenie B2/1	2.0	0.003	0.004	0.06	- -
31	Najwyższa wartość przy antenie B2/2	2.0	0.006	0.008	0.11	- -
32	Najwyższa wartość przy antenie B2/3	2.0	0.004	0.006	0.08	- -
33	Najwyższa wartość przy antenie C0/1	2.0	0.003	0.004	0.05	- -
34	Najwyższa wartość przy antenie C0/2	2.0	0.003	0.005	0.06	- -
35	Najwyższa wartość przy antenie C0/3	0.3-2.0	<0.003*	0.003	0.05	- -
36	Najwyższa wartość przy antenie C0/4	0.3-2.0	<0.003*	0.003	0.05	- -
37	Najwyższa wartość przy antenie C1/1	2.0	0.004	0.005	0.07	- -
38	Najwyższa wartość przy antenie C1/2	2.0	0.003	0.005	0.06	- -
39	Najwyższa wartość przy antenie C1/3	2.0	0.003	0.004	0.05	- -
40	Najwyższa wartość przy antenie C1/4	0.3-2.0	<0.003*	0.003	0.05	- -
41	Najwyższa wartość przy antenie C2/1	0.3-2.0	<0.003*	0.003	0.05	- -
42	Najwyższa wartość przy antenie C2/2	0.3-2.0	<0.003*	0.003	0.05	- -
43	Najwyższa wartość przy antenie C2/3	0.3-2.0	<0.003*	0.003	0.05	- -
44	Najwyższa wartość przy antenie C2/4	0.3-2.0	<0.003*	0.003	0.05	- -
45	Najwyższa wartość przy antenie E1/1	2.0	0.004	0.005	0.07	- -
46	Najwyższa wartość przy antenie E2/1	2.0	0.007	0.009	0.12	- -
47	Najwyższa wartość przy antenie CEA0/1	0.3-2.0	<0.003*	0.003	0.05	- -
48	Najwyższa wartość przy antenie CEA0/2	2.0	0.003	0.004	0.06	- -
49	Najwyższa wartość przy antenie CEA0/3	0.3-2.0	<0.003*	0.003	0.05	- -
50	Najwyższa wartość przy antenie CEA0/4	0.3-2.0	<0.003*	0.003	0.05	- -
51	Najwyższa wartość przy antenie CEA-1/1	2.0	0.006	0.008	0.1	- -
52	Najwyższa wartość przy antenie CEA-1/2	2.0	0.005	0.006	0.08	- -
53	DPP - w płaszczyźnie otworu okiennego klatki schodowej, piętro 2, Jagiellońska 78, Olsztyn	2.0	0.003	0.004	0.05	53°48'6.5" 20°30'28.1"
54	DPP - w płaszczyźnie otworu okiennego Gabinetu lekarskiego, piętro 2, Jagiellońska 78, Olsztyn	0.3-2.0	<0.003*	0.003	0.05	53°48'7.6" 20°30'28.4"
55	GKP w odległości poziomej 25m od anteny sektorowej az. 30°	0.3-2.0	<0.003*	0.003	0.05	53°48'7.2" 20°30'28.8"
56	GKP w odległości poziomej 58m od anteny sektorowej az. 30°	0.3-2.0	<0.003*	0.003	0.05	53°48'7.9" 20°30'29.5"

Sprawozdanie z badań bez pisemnej zgody laboratorium nie może być powielane inaczej niż w całości.
Wyniki przedstawione w niniejszym sprawozdaniu odnoszą się wyłącznie do badanego obiektu i do warunków i konfiguracji urządzeń w dniu wykonywania pomiarów.

57	GKP w odległości poziomej 81m od anteny sektorowej az. 30°	0.3-2.0	<0.003*	0.003	0.05	53°48'8.6" 20°30'30.6"

GKP – Główny Kierunek Pomiarowy
DPP – Dodatkowy Pion Pomiarowy
[1] wyniki oznaczone * są wynikami poniżej czułości zestawu pomiarowego i są wynikami spoza zakresu akredytacji. Do obliczenia wyniku skorygowanego przyjęto wartość skorelowaną z rzeczywistym wynikiem pomiaru - dolną granicę akredytowanego zakresu pomiarowego metody
[2] współrzędne geograficzne pozyskane metodą pomiaru bezpośredniego
[3] do wyznaczenia wartości wskaźnikowej WM_E i WM_H przyjęto na podstawie uzgodnień z klientem oraz rozpoznania źródeł, jako wartości dopuszczalne pola elektrycznego i magnetycznego odpowiednio 28 V/m i 0,073 A/m.
[4] do wyznaczenia niepewności dla wyników poniżej czułości zestawu pomiarowego, przyjęto niepewność dla minimalnej wartości z zakresu pomiarowego.
[5] maksymalna wartość chwilowa
Niepewność oszacowano zgodnie z dokumentem P-03 „Procedura nadzoru nad wyposażeniem" w postaci niepewności rozszerzonej wynikającej z niepewności standardowej pomnożonej przez współczynnik rozszerzenia k=2.
Całkowita szacowana niepewność rozszerzona składowej E wynosi odpowiednio: 30.7% dla częstotliwości do 4 GHz

Umiejscowienie pionów (punktów) pomiarowych przedstawiono w załączniku nr 2 do niniejszego sprawozdania.

10. Omówienie wyników pomiarów

W związku z tym, że żadna z wartości zmierzonych, udokumentowanych w tabelach w pkt. 9, uzyskanych w skutek zastosowania pomiaru szerokopasmowego, powiększonego o rozszerzoną niepewność pomiaru U dla współczynnika rozszerzenia k = 2 nie przekroczyła 70% najniższej dopuszczalnej wartości składowej elektrycznej lub magnetycznej pola dla objętych pomiarami zakresów częstotliwości, nie uwzględnia się poprawek pomiarowych.

W wyniku zastosowania sposobu sprawdzenia dotrzymania dopuszczalnych poziomów pól elektromagnetycznych w środowisku, zgodnie pkt 25 ppkt 1 Rozporządzenia Ministra Klimatu z dnia 17 lutego 2020 r. (Dz. U. 2022, poz. 2630), w zwlązku z tym, że żadna z wartości wskaźnikowych, udokumentowanych w tabelach w pkt. 9 nie przekracza wartości 1, stwierdza się, że w miejscach, w których wykonano pomiary w otoczeniu instalacji radiokomunikacyjnej 44200 (44200N!) OLSZTYN SZPITAL PŁUCNY (GOL_OLSZTYN_SZPITALGICHP), dopuszczalne poziomy pól elektromagnetycznych w środowisku należy uznać za dotrzymane.

11. Podstawa prawna

1) Ustawa z dnia 27 kwietnia 2001 r. Prawo ochrony środowiska (T. j. Dz. U. z 2025 r., poz. 647 z późn. zm.)
2) Rozporządzenie Ministra Zdrowia z dnia 17 grudnia 2019 r. w sprawie dopuszczalnych poziomów pól elektromagnetycznych w środowisku (Dz. U. 2019, poz. 2448)
3) Rozporządzenie Ministra Klimatu z dnia 17 lutego 2020 r. w sprawie sposobów sprawdzania dotrzymania dopuszczalnych poziomów pól elektromagnetycznych w środowisku (Dz. U. 2022, poz. 2630),
4) Akredytacja nr AB 419 wydana przez Polskie Centrum Akredytacji (wydanie nr 25 z dnia 01.09.2026 r.)

12. Spis załączników

Załącznik 1. Lokalizacja obiektu badań
Załącznik 2-15. Usytuowanie pionów (punktów) pomiarowych
Załącznik 16. Dokumentacja fotograficzna obiektu badań

13. Data wydania i autoryzowania sprawozdania

Obliczenia i sprawozdanie wykonał :

[redacted]
Elektronicznie podpisany przez [redacted]
Data: 2026.11.20 14:27:00 +01'00'

Sprawozdanie autoryzował:

[redacted]
Elektronicznie podpisany przez [redacted]
Data: 2026.11.20 14:32:10 +01'00'

Koniec sprawozdania

Sprawozdanie z badań bez pisemnej zgody laboratorium nie może być powielane inaczej niż w całości.
Wyniki przedstawione w niniejszym sprawozdaniu odnoszą się wyłącznie do badanego obiektu i do warunków i konfiguracji urządzeń w dniu wykonywania pomiarów.

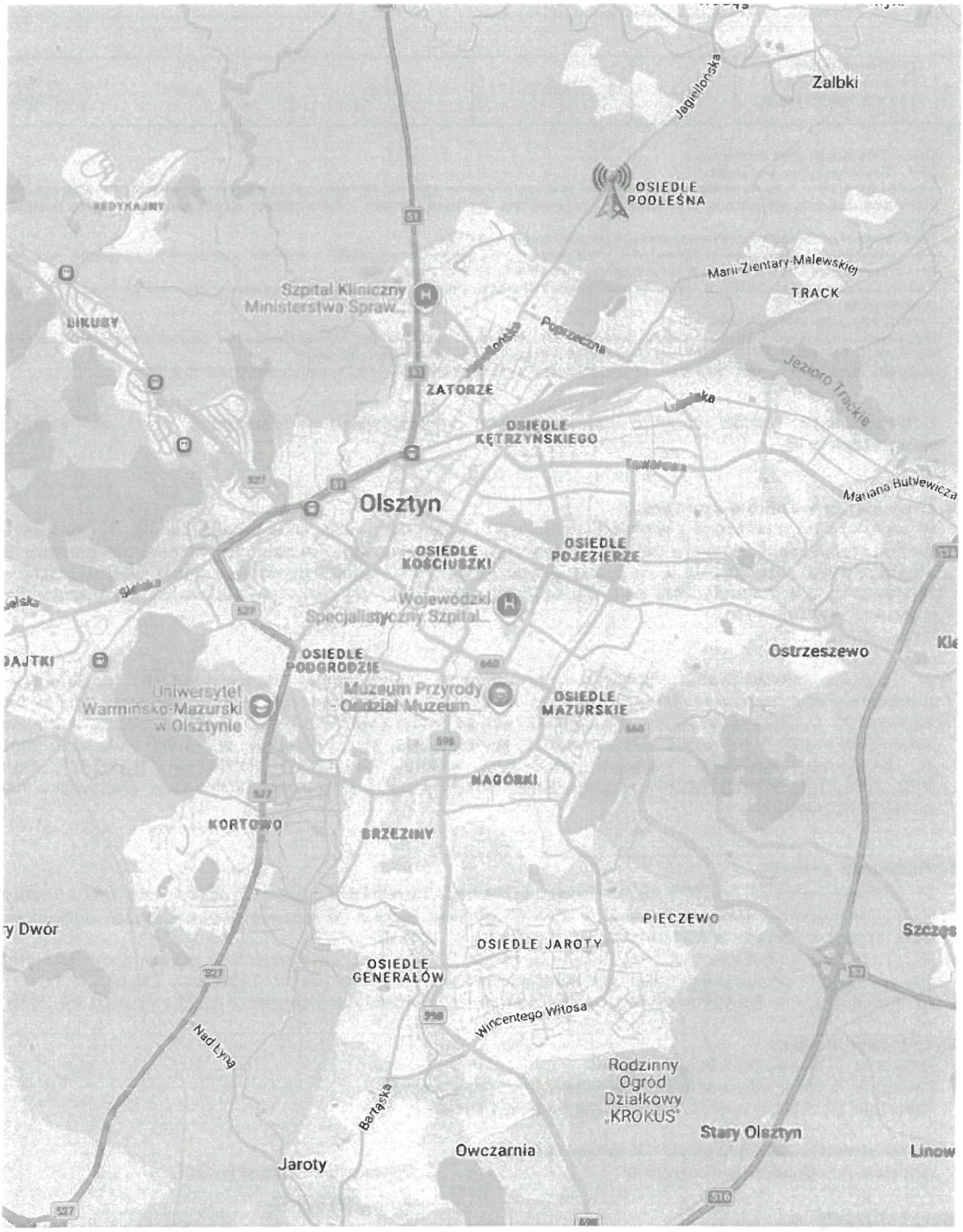

Załącznik nr 1	Instalacja radiokomunikacyjna Orange Polska S.A. 44200 (44200N!) OLSZTYN SZPITAL PŁUCNY (GOL_OLSZTYN_SZPITALGICHP) Lokalizacja instalacji

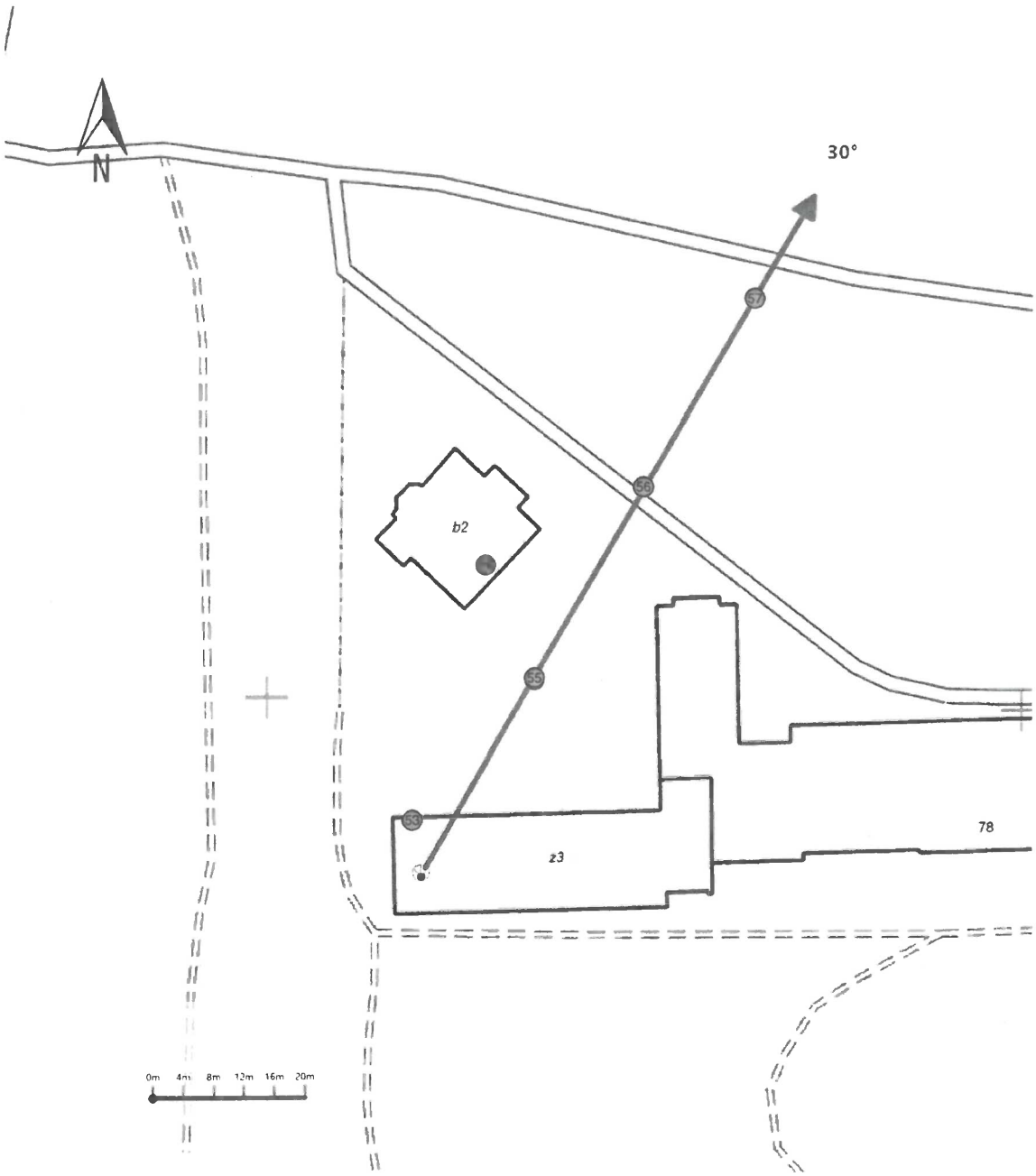

Załącznik nr 2	Instalacja radiokomunikacyjna Orange Polska S.A. GOL_OLSZTYN_SZPITALGICHP (44200N!) Usytuowanie pionów pomiarowych w otoczeniu instalacji radiokomunikacyjnej
	Legenda: Źródło pola elektromagnetycznego X Brak dostępu X Pion pomiarowy Kierunek oddziaływania anten sektorowych Kierunek oddziaływania anten radioliniowych

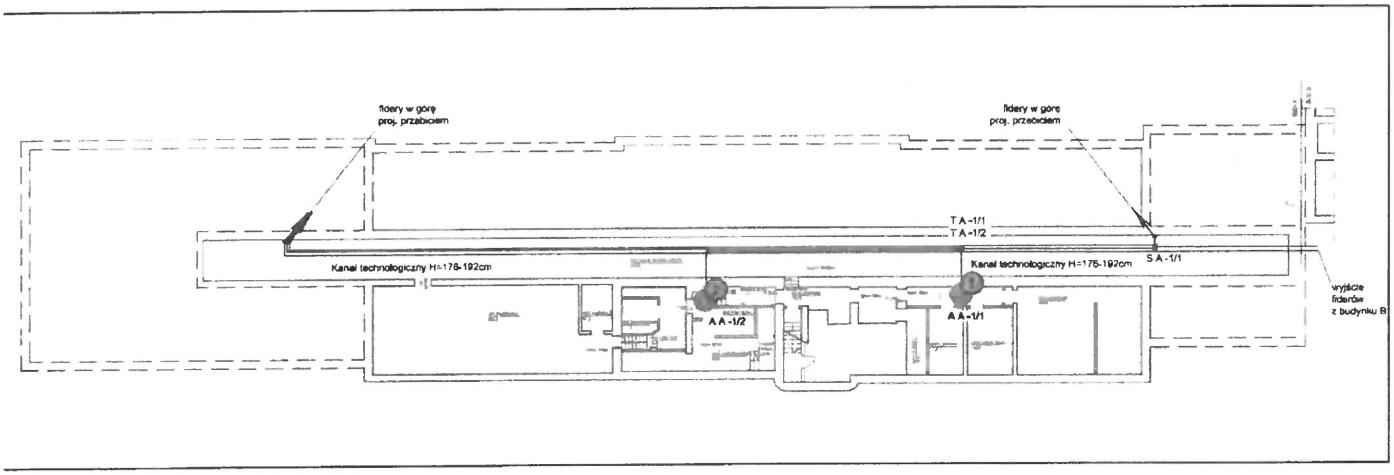

Załącznik nr 3	Instalacja radiokomunikacyjna Orange Polska S.A. 44200 (44200N!) OLSZTYN SZPITAL PŁUCNY (GOL_OLSZTYN_SZPITALGICHP) Usytuowanie pionów pomiarowych w otoczeniu instalacji - budynek A - piwnica
	Legenda: Pion pomiarowy; Antena

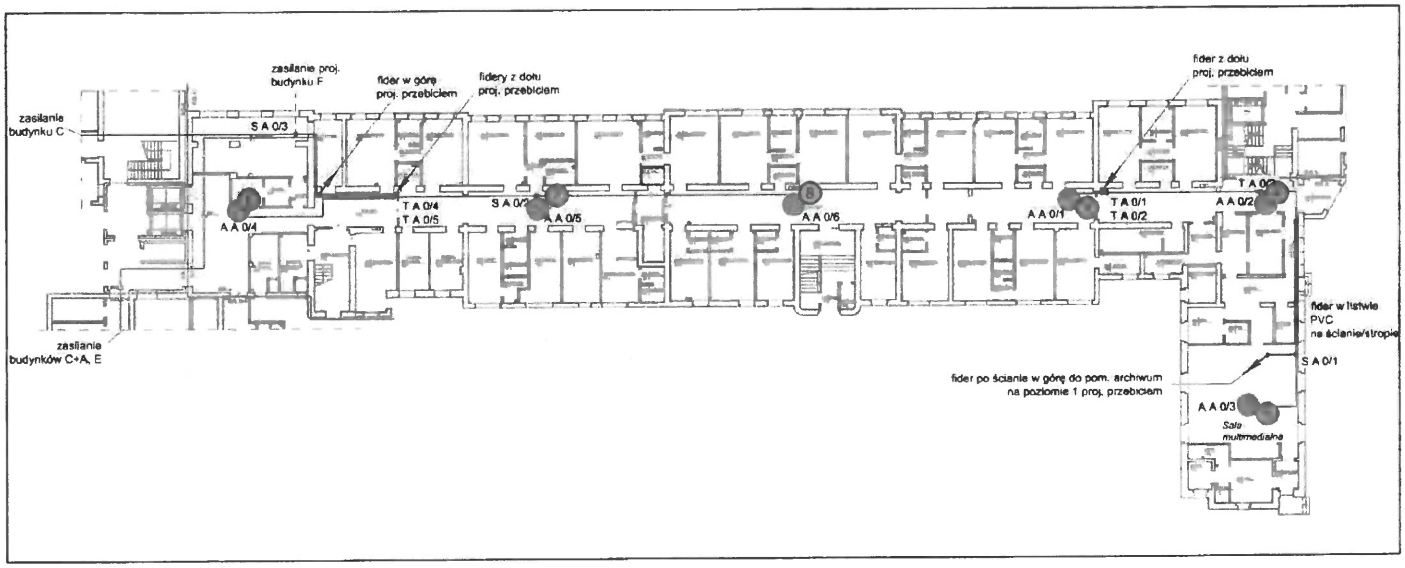

Załącznik nr 4	Instalacja radiokomunikacyjna Orange Polska S.A. 44200 (44200NI) OLSZTYN SZPITAL PŁUCNY (GOL_OLSZTYN_SZPITALGICHP) Usytuowanie pionów pomiarowych w otoczeniu instalacji -budynek A - parter
	Legenda: Pion pomiarowy, Antena

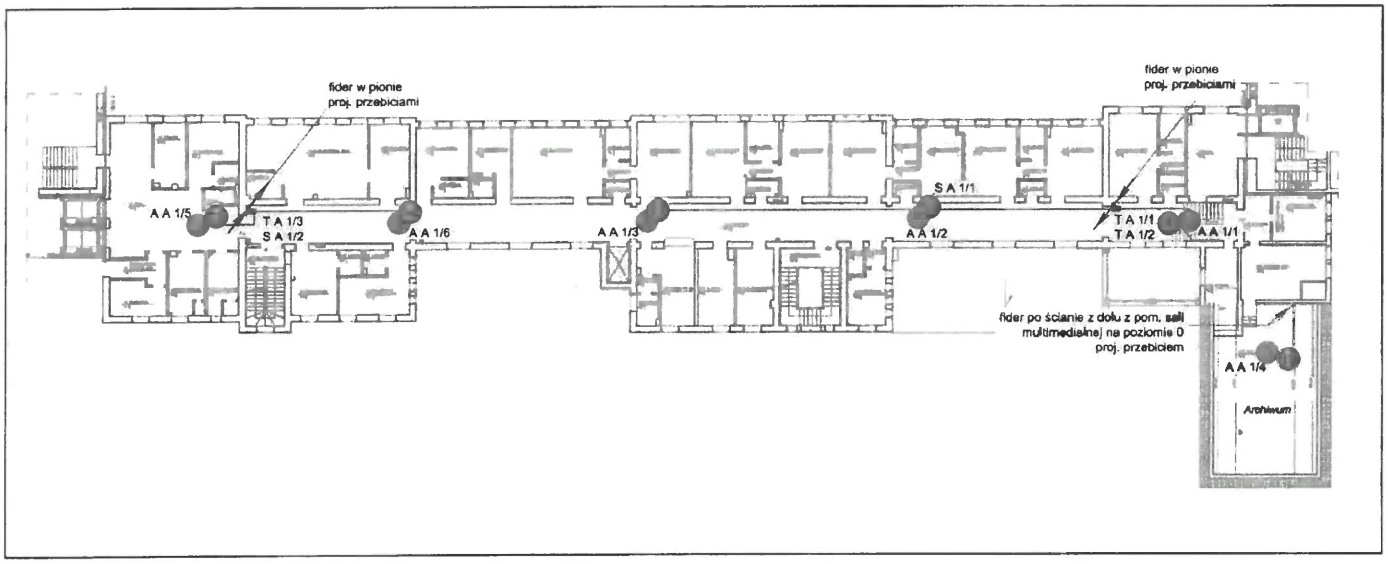

Załącznik nr 5	Instalacja radiokomunikacyjna Orange Polska S.A. 44200 (44200N!) OLSZTYN SZPITAL PŁUCNY (GOL_OLSZTYN_SZPITALGICHP) Usytuowanie pionów pomiarowych w otoczeniu instalacji - budynek A - 1 piętro
	Legenda: ● Pion pomiarowy ● Antena

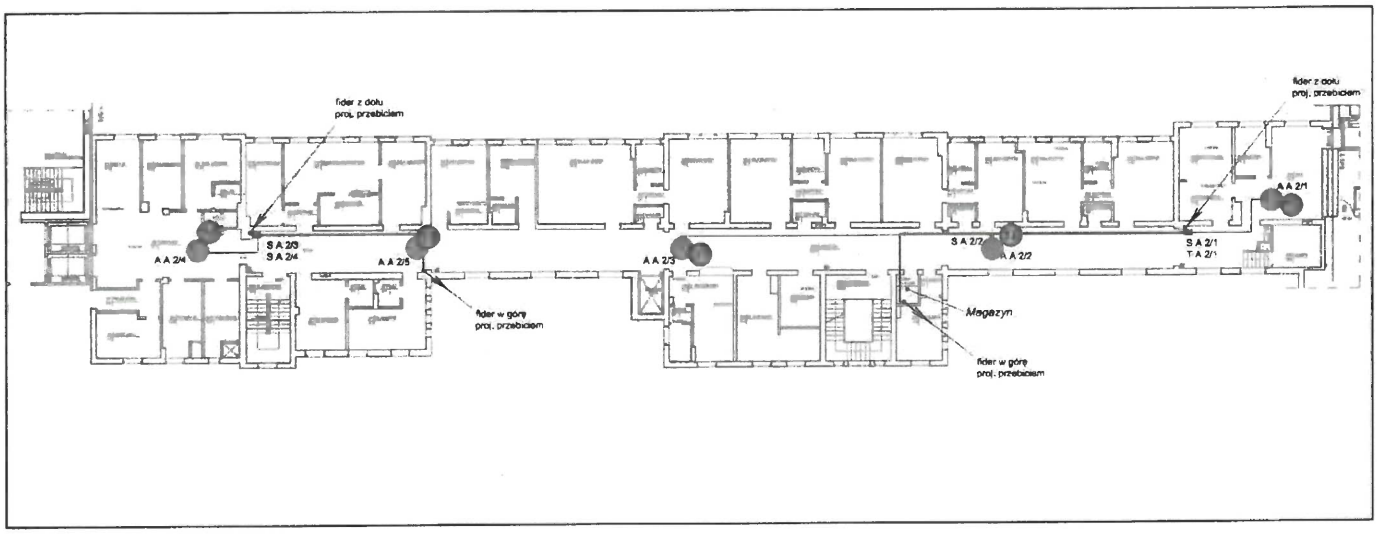

Załącznik nr 6	Instalacja radiokomunikacyjna Orange Polska S.A. 44200 (44200N!) OLSZTYN SZPITAL PŁUCNY (GOL_OLSZTYN_SZPITALGICHP) Usytuowanie pionów pomiarowych w otoczeniu instalacji - budynek A - 2 piętro
	Legenda: Pion pomiarowy, Antena

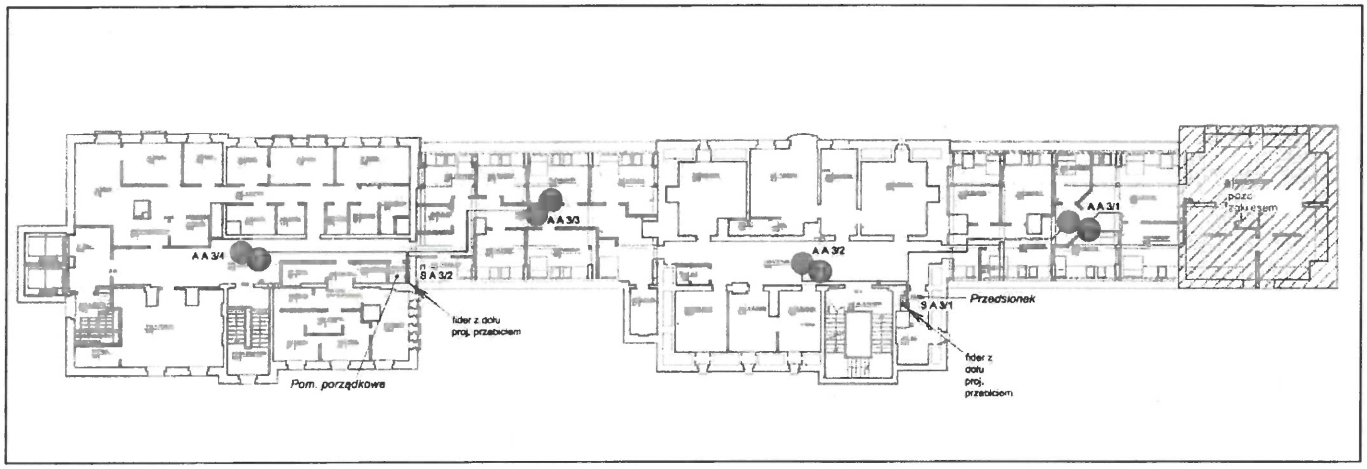

Załącznik nr 7	Instalacja radiokomunikacyjna Orange Polska S.A. 44200 (44200N!) OLSZTYN SZPITAL PŁUCNY (GOL_OLSZTYN_SZPITALGICHP) Usytuowanie pionów pomiarowych w otoczeniu instalacji - budynek A - 3 piętro
	Legenda: Pion pomiarowy; Antena

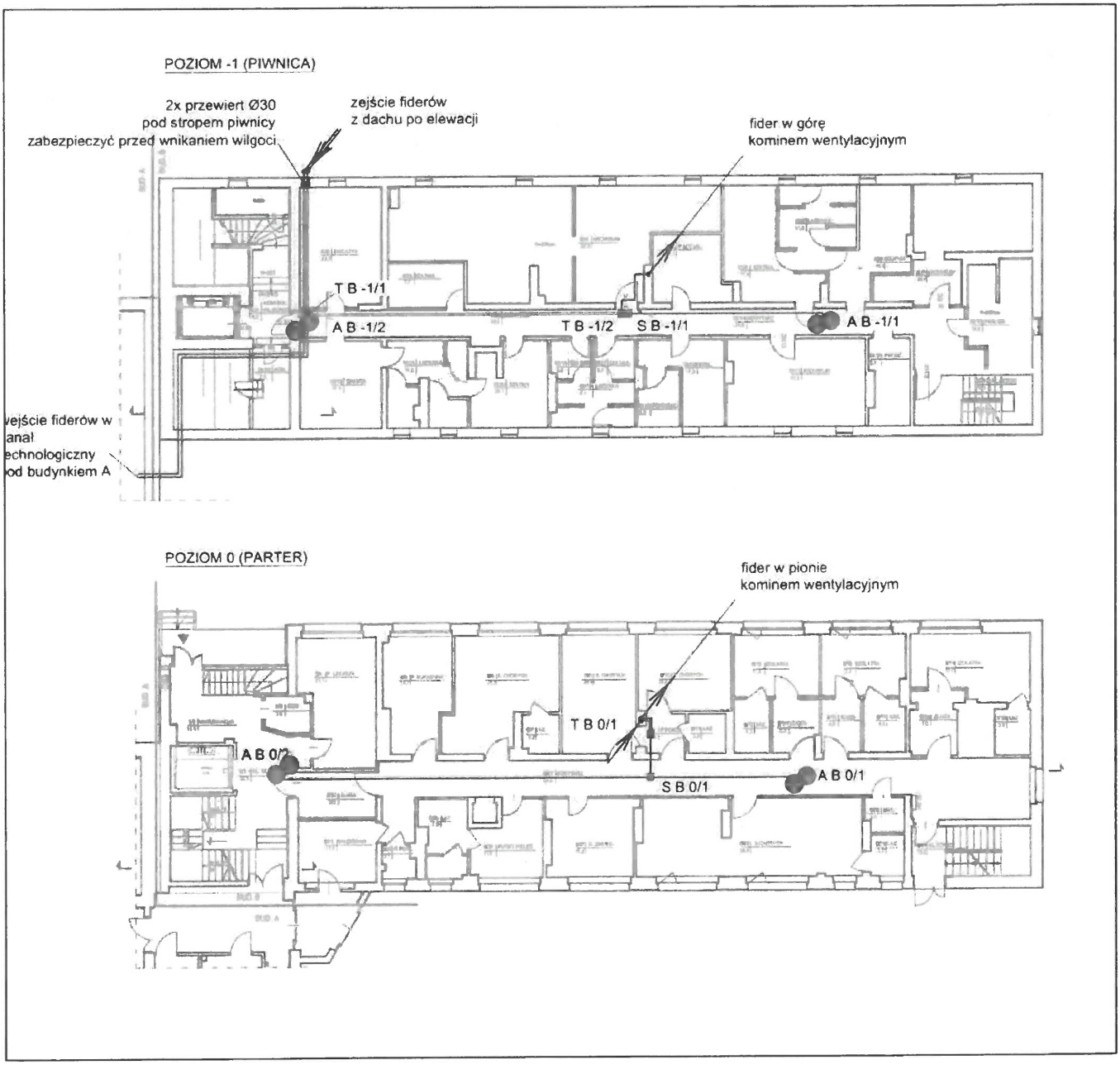

Załącznik nr 8	Instalacja radiokomunikacyjna Orange Polska S.A. 44200 (44200NI) OLSZTYN SZPITAL PŁUCNY (GOL_OLSZTYN_SZPITALGICHP) Usytuowanie pionów pomiarowych w otoczeniu instalacji -budynek B - piwnica i parter
	Legenda: Pion pomiarowy; Antena

POZIOM 1 (1. PIĘTRO)

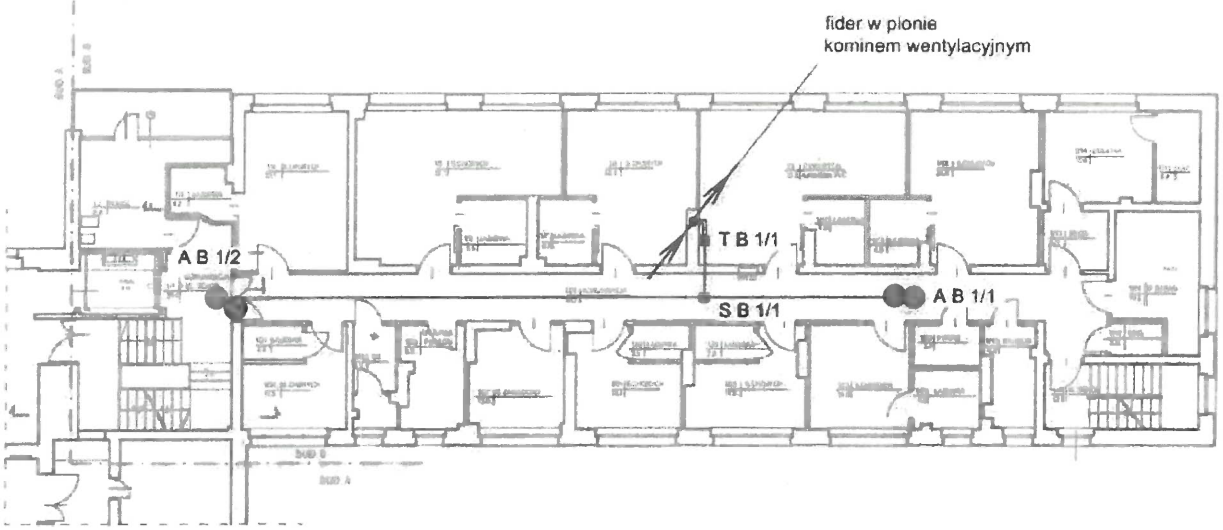

POZIOM 2 (2. PIĘTRO)

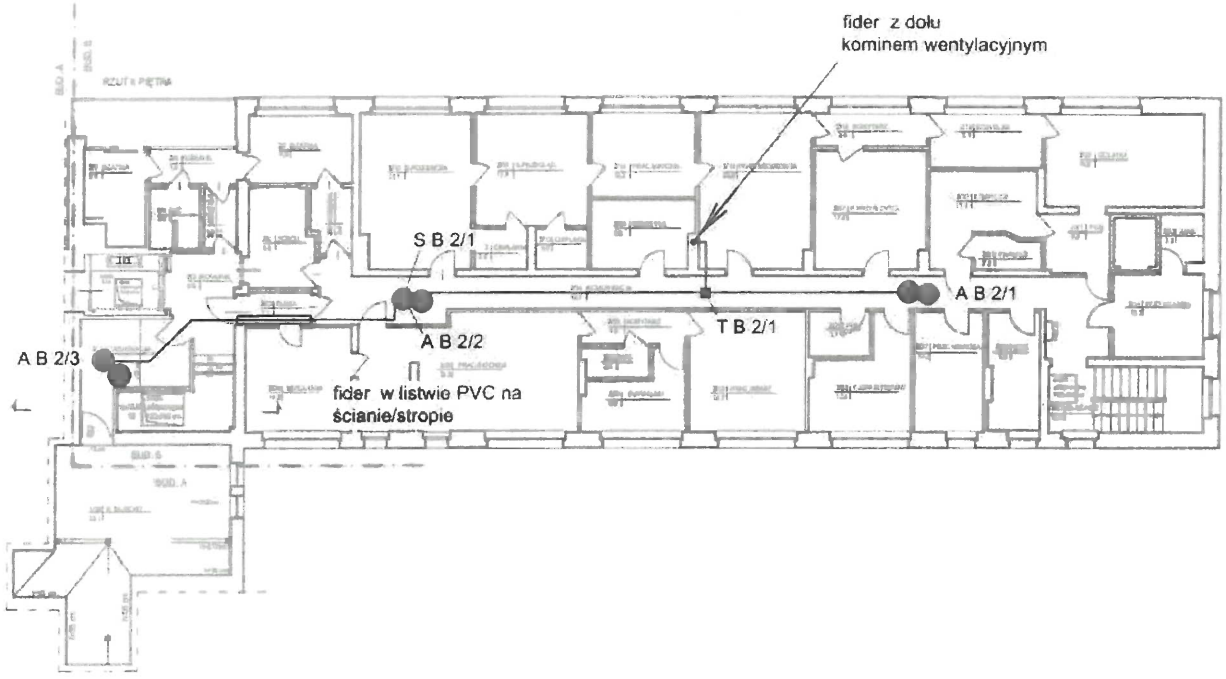

Załącznik nr 9	Instalacja radiokomunikacyjna Orange Polska S.A. 44200 (44200N!) OLSZTYN SZPITAL PŁUCNY (GOL_OLSZTYN_SZPITALGICHP) Usytuowanie pionów pomiarowych w otoczeniu instalacji - budynek B - piętro 1 oraz 2
	Legenda: ● Pion pomiarowy ● Antena

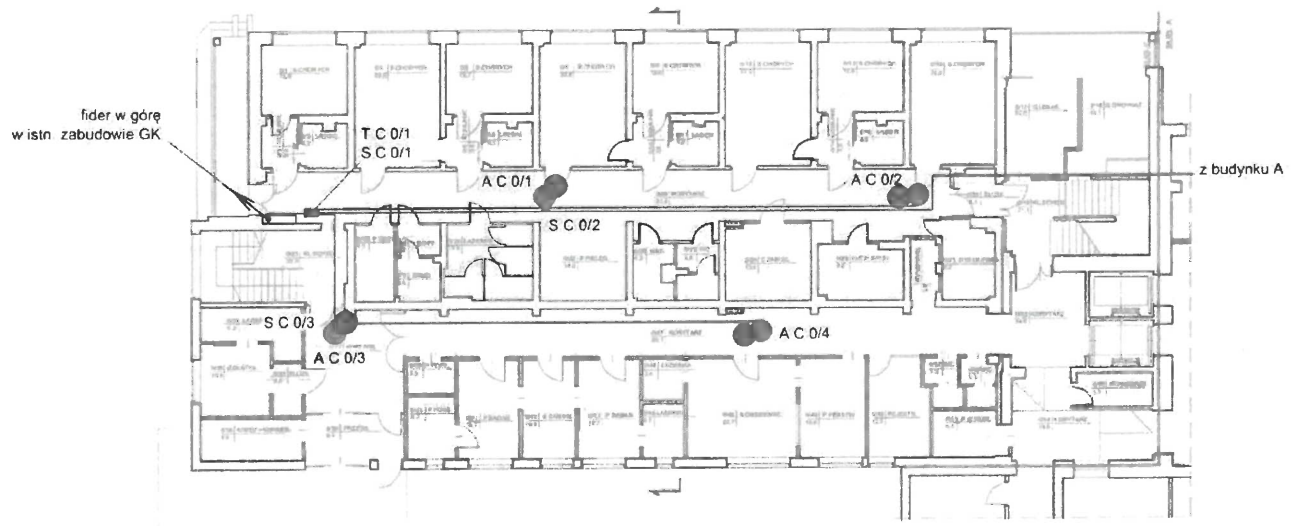

Załącznik nr 10	Instalacja radiokomunikacyjna Orange Polska S.A. 44200 (44200N!) OLSZTYN SZPITAL PŁUCNY (GOL_OLSZTYN_SZPITALGICHP) **Usytuowanie pionów pomiarowych w otoczeniu instalacji - budynek C - parter**
	Legenda: ● Pion pomiarowy ● Antena

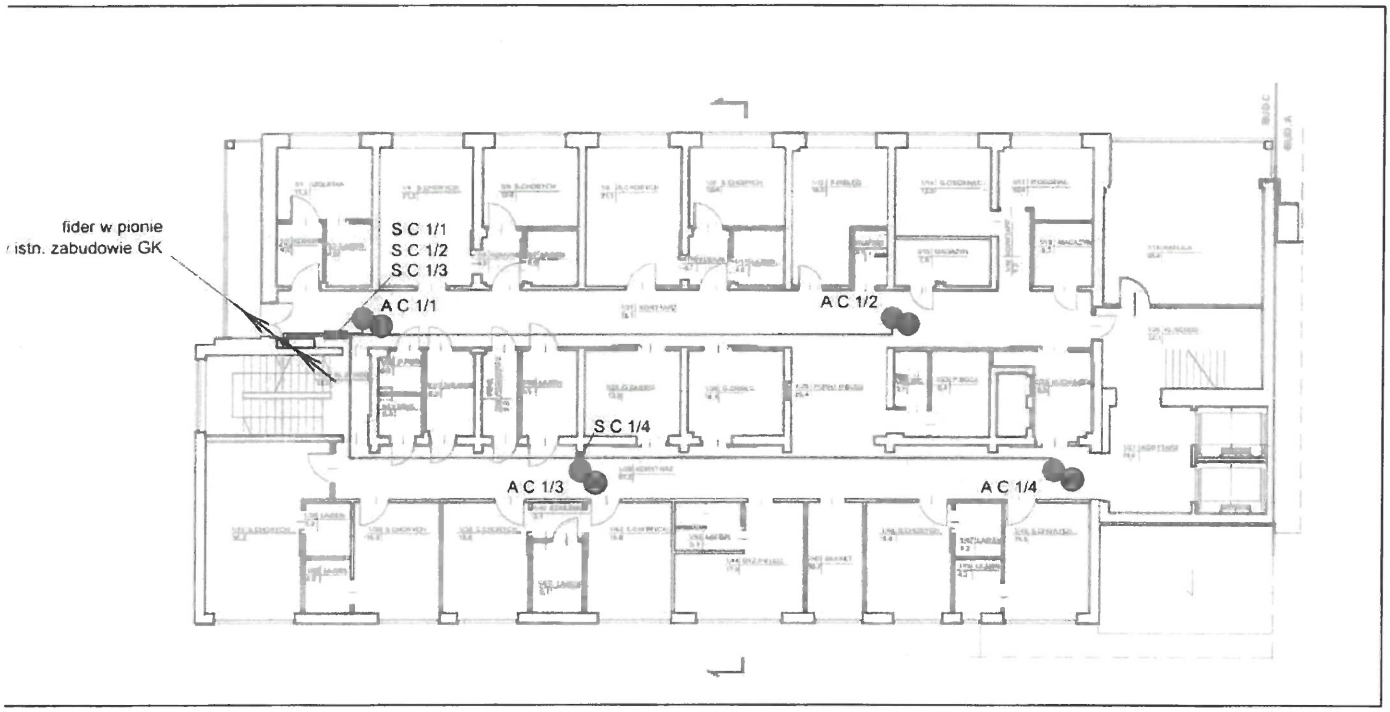

Załącznik nr 11	Instalacja radiokomunikacyjna Orange Polska S.A. 44200 (44200NI) OLSZTYN SZPITAL PŁUCNY (GOL_OLSZTYN_SZPITALGICHP) Usytuowanie pionów pomiarowych w otoczeniu instalacji - budynek C - piętro 1
	Legenda: Pion pomiarowy; Antena

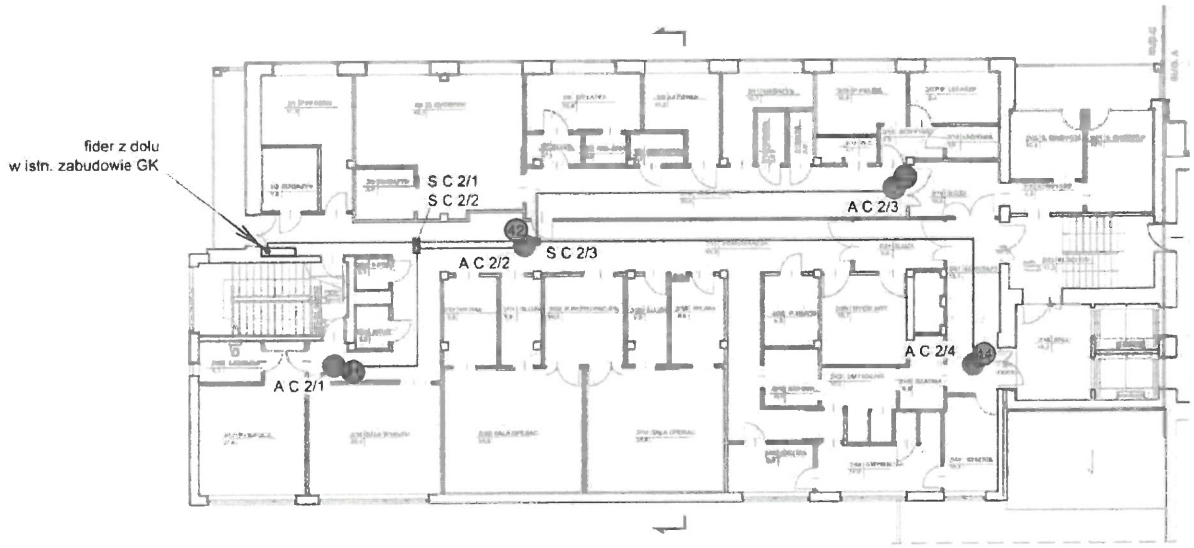

Załącznik nr 12	Instalacja radiokomunikacyjna Orange Polska S.A. 44200 (44200N!) OLSZTYN SZPITAL PŁUCNY (GOL_OLSZTYN_SZPITALGICHP) Usytuowanie pionów pomiarowych w otoczeniu instalacji - budynek C - piętro 2
	Legenda: Pion pomiarowy; Antena

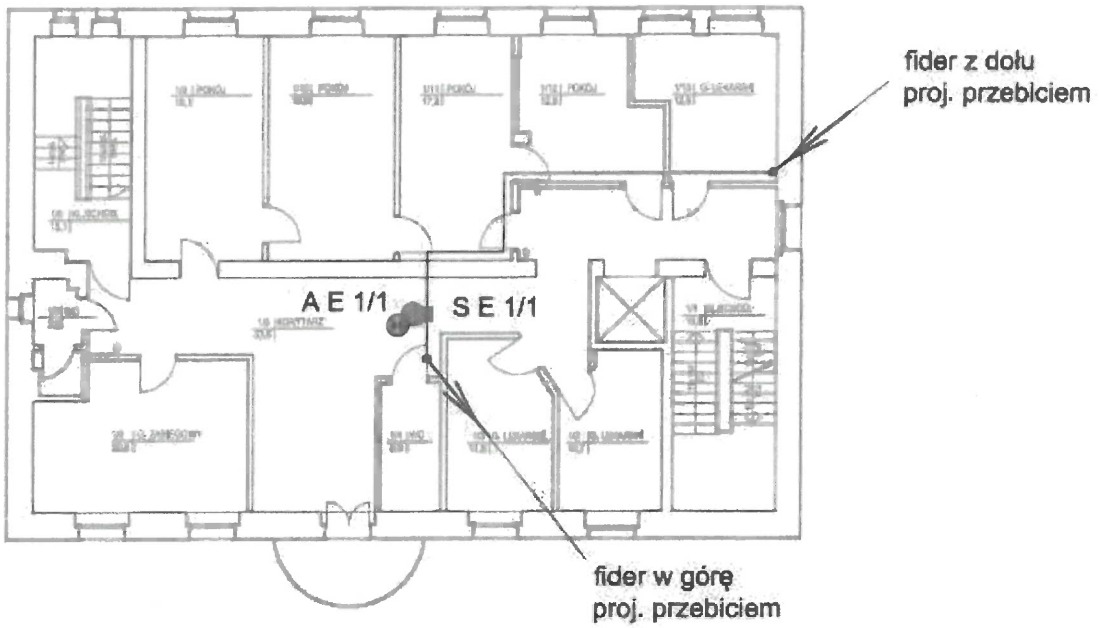

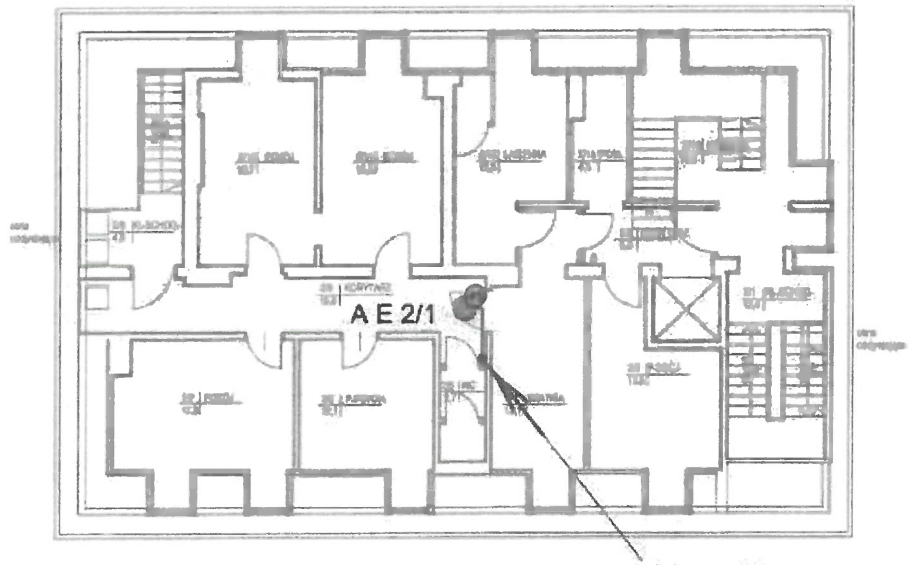

Załącznik nr 13	Instalacja radiokomunikacyjna Orange Polska S.A. 44200 (44200N!) OLSZTYN SZPITAL PŁUCNY (GOL_OLSZTYN_SZPITALGICHP) Usytuowanie pionów pomiarowych w otoczeniu instalacji - budynek E piętro 1 oraz 2
	Legenda: ● Pion pomiarowy ● Antena

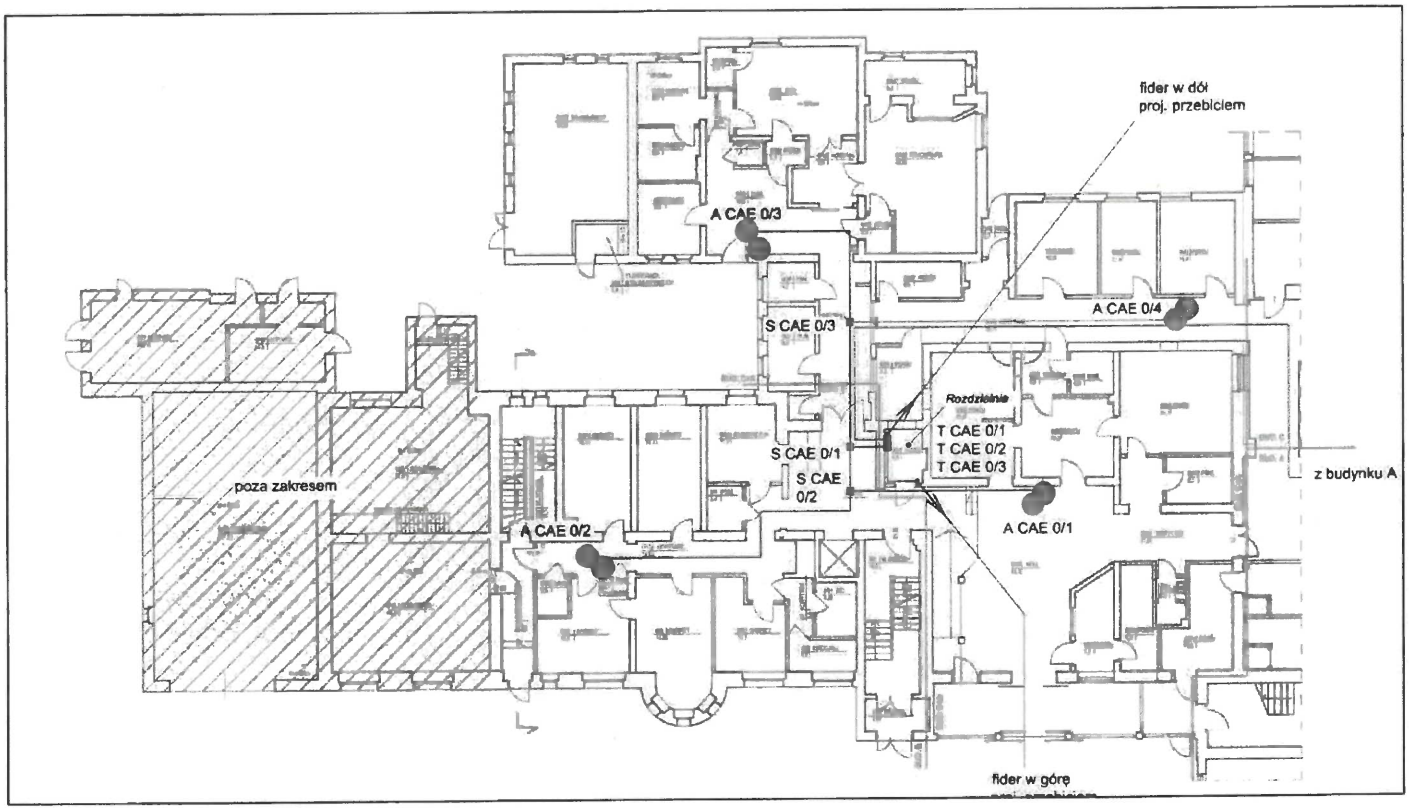

Załącznik nr 14	Instalacja radiokomunikacyjna Orange Polska S.A. 44200 (44200NI) OLSZTYN SZPITAL PŁUCNY (GOL_OLSZTYN_SZPITALGICHP) Usytuowanie pionów pomiarowych w otoczeniu instalacji - budynek CEA parter
	Legenda: ● Pion pomiarowy ● Antena

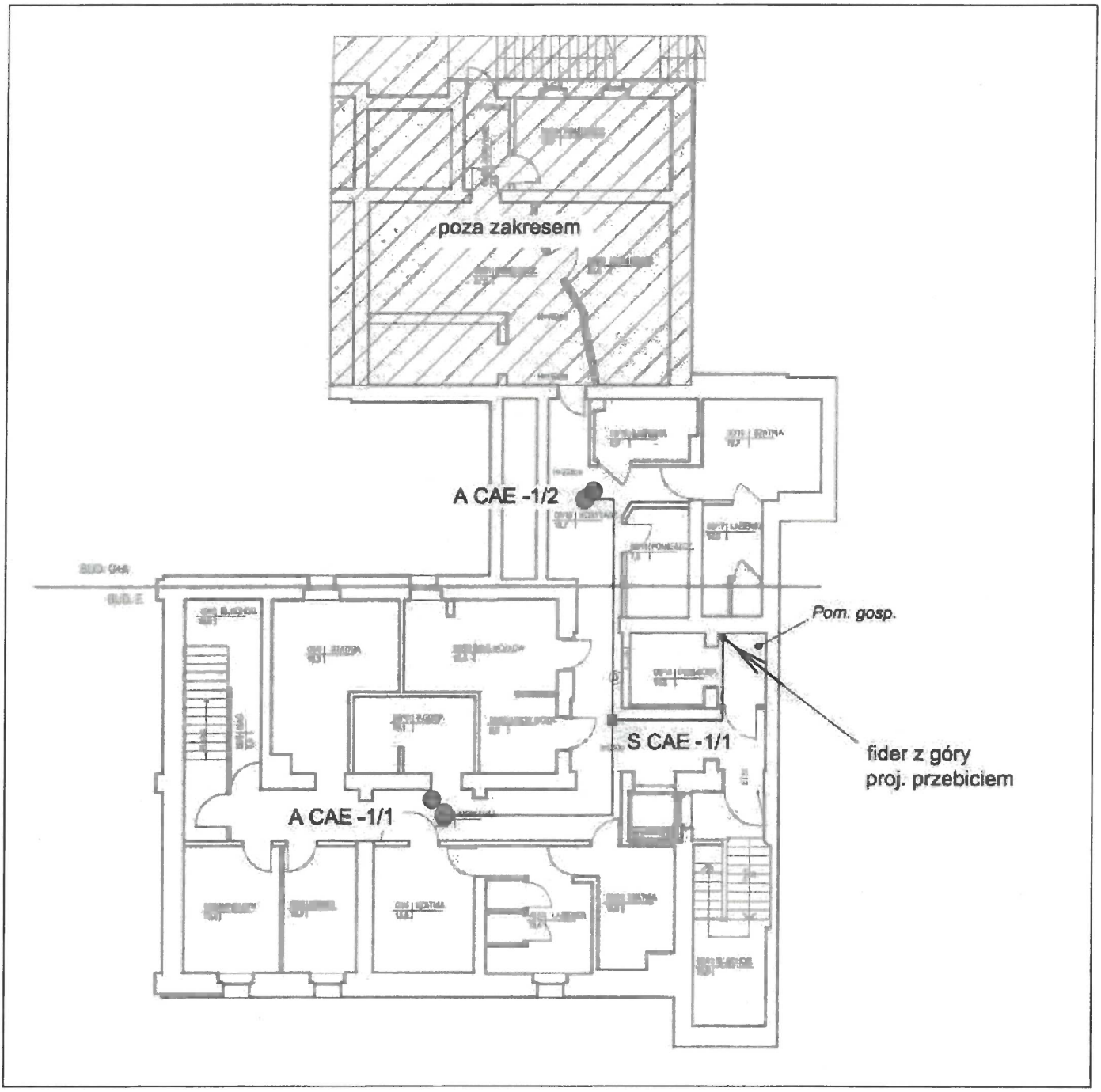

Załącznik nr 15	Instalacja radiokomunikacyjna Orange Polska S.A. 44200 (44200NI) OLSZTYN SZPITAL PŁUCNY (GOL_OLSZTYN_SZPITALGICHP) Usytuowanie pionów pomiarowych w otoczeniu instalacji - budynek CEA piwnica
	Legenda: Pion pomiarowy, Antena

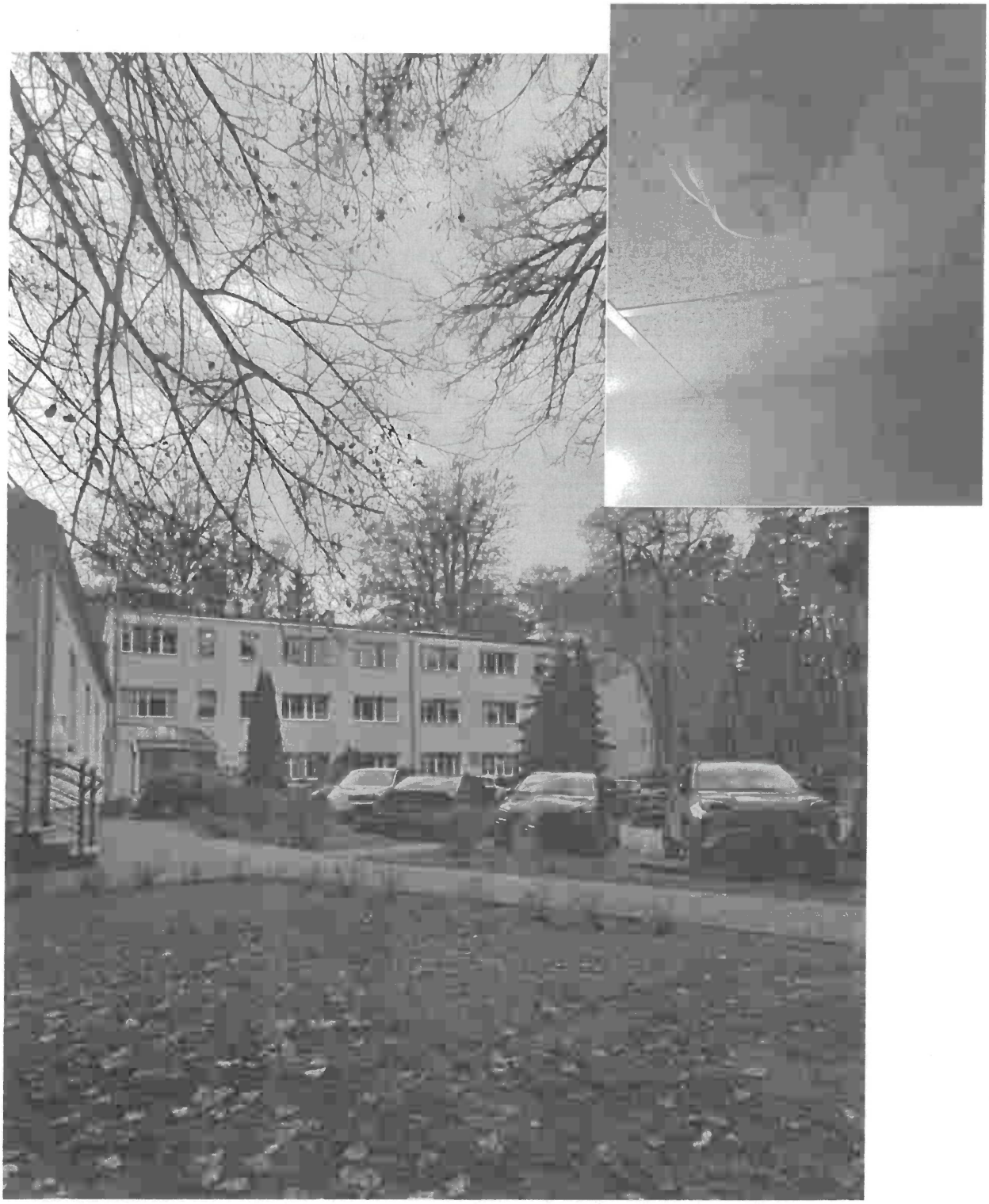

Załącznik nr 16	Instalacja radiokomunikacyjna Orange Polska S.A. 44200 (44200N!) OLSZTYN SZPITAL PŁUCNY (GOL_OLSZTYN_SZPITALGICHP) Dokumentacja fotograficzna